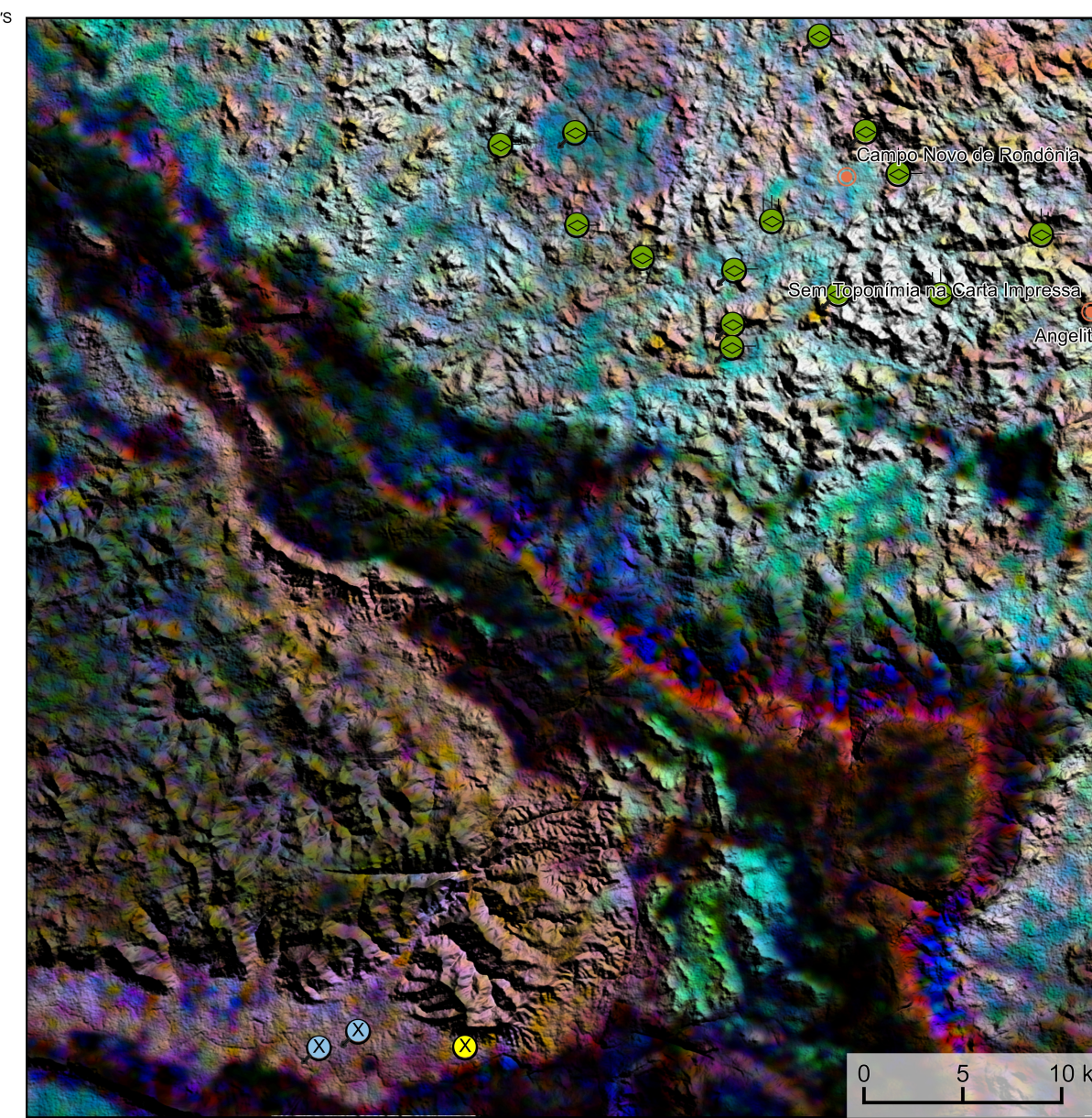
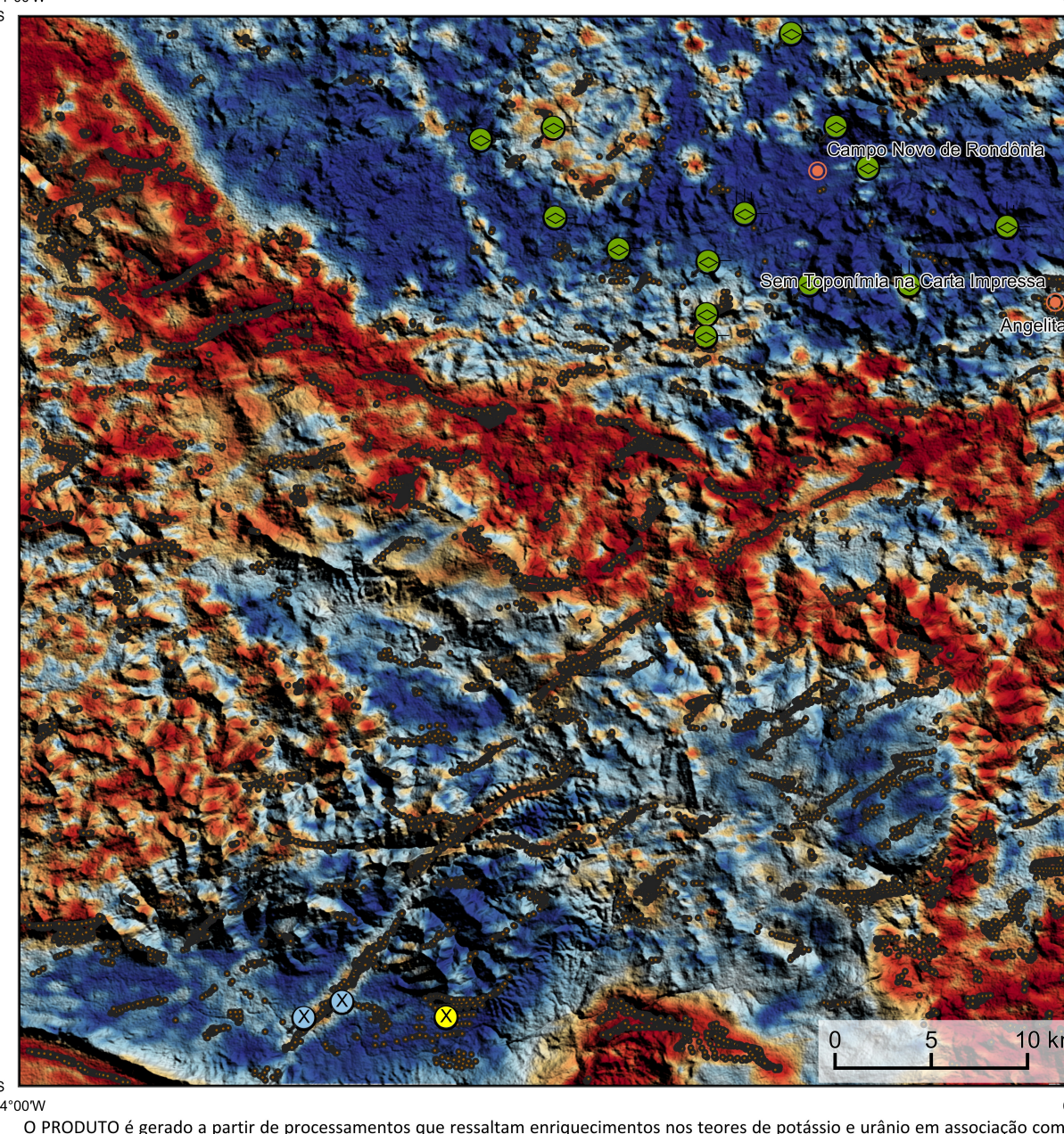


AEROGAMAESPECTROMETRIA – IMAGEM DE COMPOSIÇÃO TERNARIA RGB (K-eTh-eU) COM FUSÃO SRTM



Mostra a variação das concentrações relativas dos três radioelementos relacionando-os com as cores vermelho (R-red) (K%), verde (G- green) (eTh, ppm) e azul (B-blue)(eU, ppm). O espectro de cores varia desde o branco, quando coincidente as máximas concentrações relativas nos três radioelementos, até o preto, para os mínimos teores relativos.

AEROMAGNETOMETRIA - PRODUTO E DECONVOLUÇÃO DE EULER COM FUSÃO SRTM



O PRODUTO gerado a partir de processamentos que ressaltam enriquecimentos nos teores de potássio e urânio em associação com o aumento da susceptibilidade magnética na subsuperfície. Estes processamentos comprendem: urânio anônomo (Ud; COSTA et al. 2020), o produto entre o potássio e o gradiente total ($Kp\epsilon GT$), e o produto entre o urânio e o gradiente total ($eU\epsilon GT$). Os produtos entre o gradiente total e o urânio juntamente aumentam a susceptibilidade magnética associada a altos valores destes radionuclídeos. As linhas de profundidade Euler representam a alta associação entre os produtos. Todos os produtos foram previamente normalizados entre 0 e 1 para prevenir diferença de peso entre os processamentos. A deconvolução Euler utiliza derivadas do campo magnético anômalo para estudar a genética das fontes magnéticas associadas em subsuperfície. Neste trabalho foi empregado o índice 1 para a deconvolução de Euler com o intuito de reduzir as extinturas lineares magnéticas da área.

MODELO DIGITAL DO TERRENO E BASE CARTOGRÁFICA COM A IDENTIFICAÇÃO DAS ESTAÇÕES GEOQUÍMICAS DE SEDIMENTOS DE CORRENTE

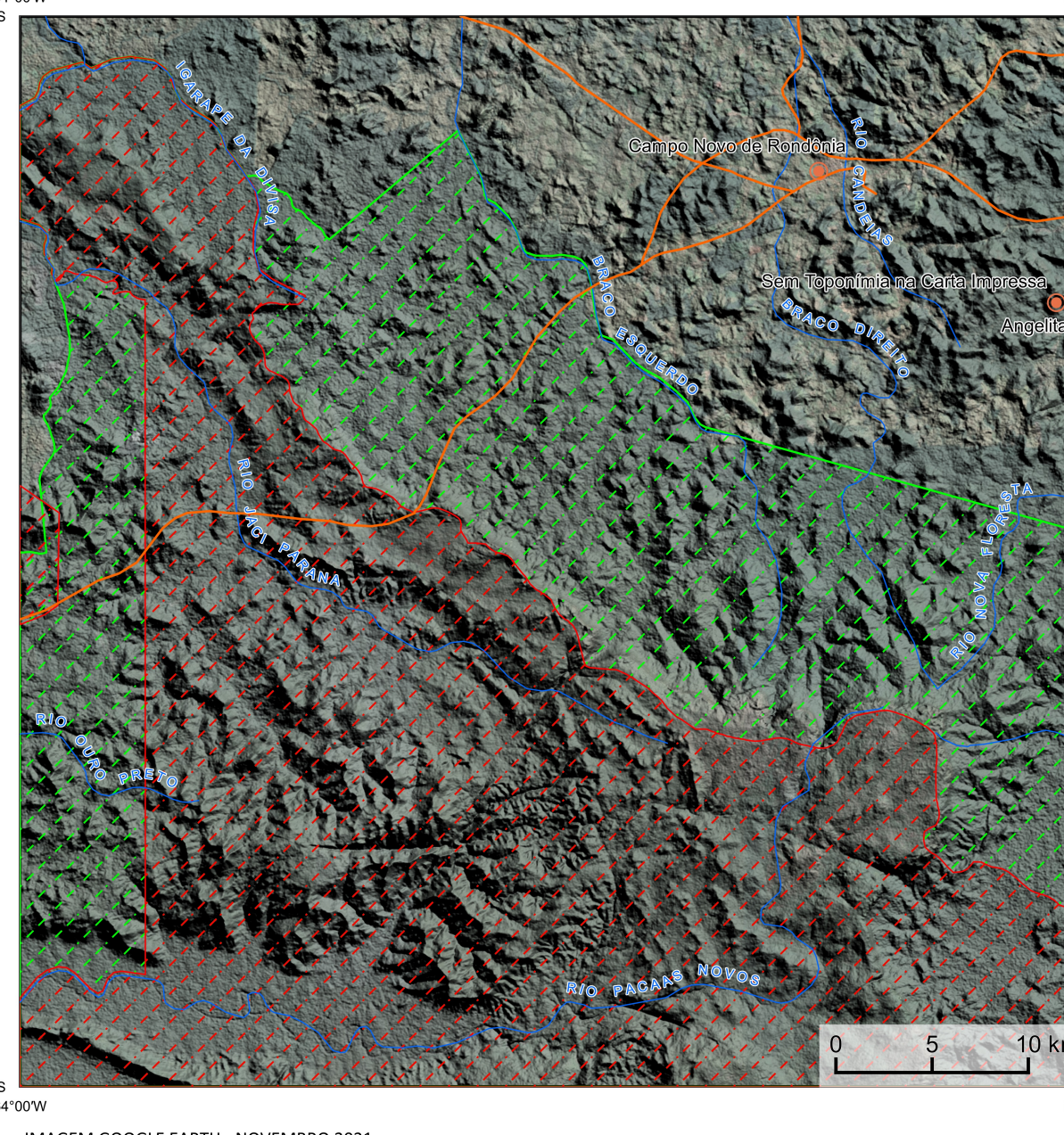
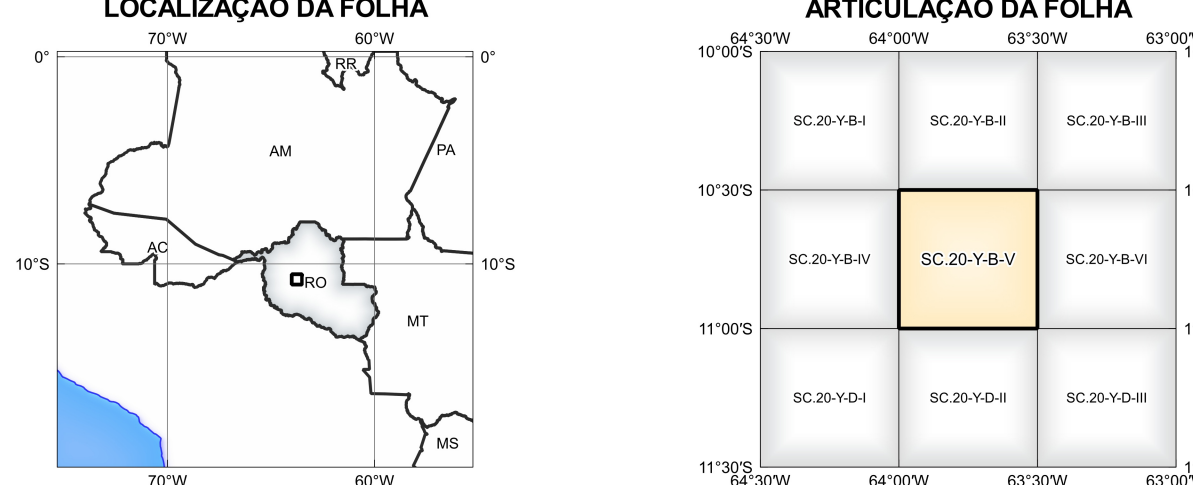
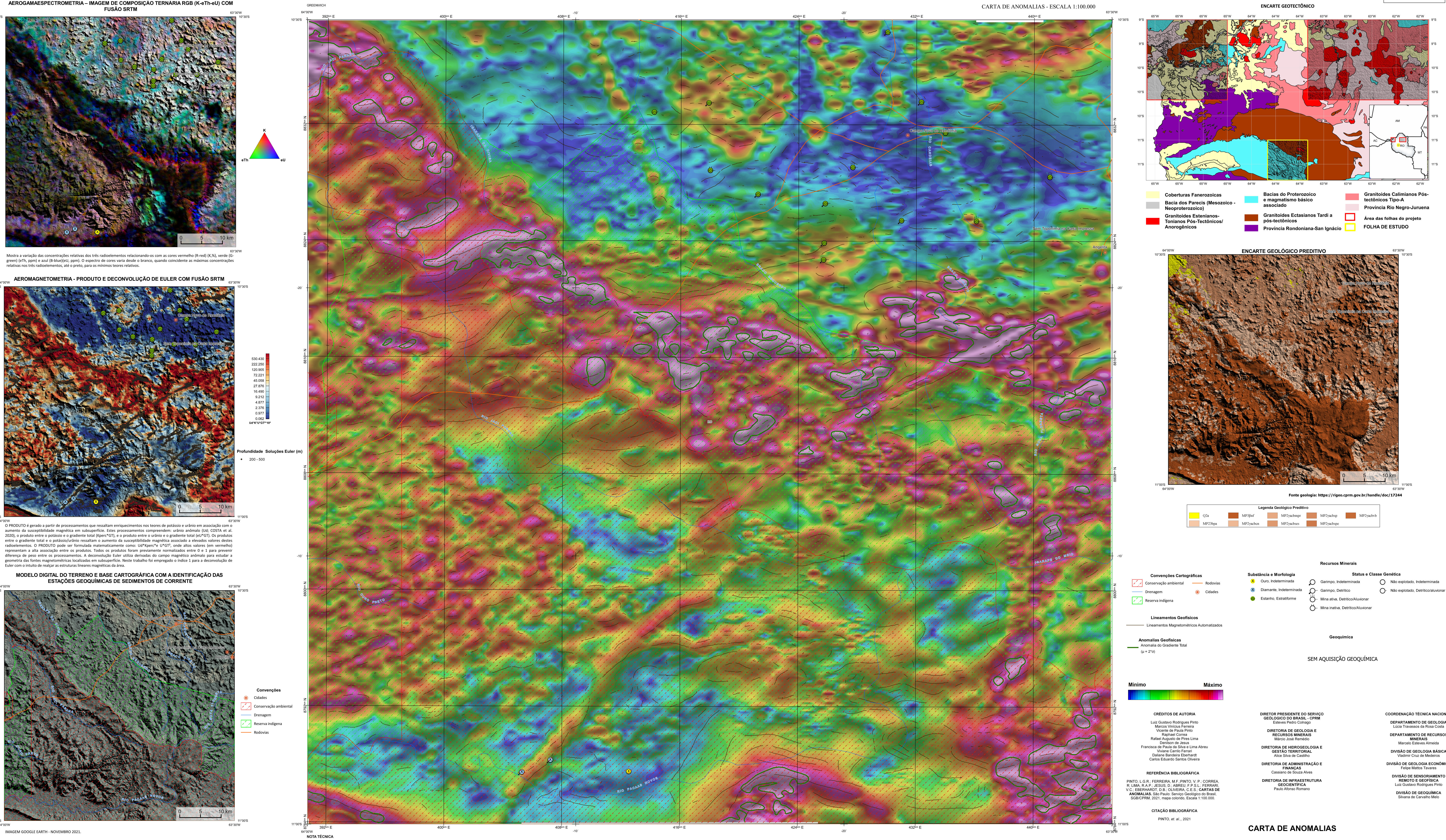


IMAGEM GOOGLE EARTH - NOVEMBRO 2021.



LOCALIZAÇÃO DA FOLHA

ARTICULAÇÃO DA FOLHA



CITAÇÕES BIBLIOGRÁFICAS

CHEN, T., & GUESTRIER, C. 2016. XGBoost: A Scalable Tree Boosting System. In Proceedings of the 22nd ACM SIGKDD International Conference on Knowledge Discovery and Data Mining, NY, USA. ACM. <https://doi.org/10.1145/2939622.2939704>

COSTA, I. S. L., TAVARES, F. M. DE OLIVEIRA, J. M. 2019. Geostatistical and machine learning methods: a case study in the Cintezo Lineament, Carajás Province, Brazil. Journal of the Geological Survey of Brazil, v. 2, n. 1, p. 26-36, 2019.

O banco de dados selenífero utilizado na construção desse produto é o obtido através do Projeto Aerogeofísico Rondonia Central (2010), pelo Serviço Geológico do Brasil - CPRM. Esse projeto possui espacamento entre as linhas de voos de 500 m na direção noroeste e altura média de voo de 100 m. Linhas de controle espaciadas de 10 km na direção leste-oeste complementam os dados. Devido às características dos equipamentos utilizados na aquisição dos dados, tem-se em média, ao longo da linha de voo uma leitura magnetepectrométrica a cada 80 m e uma leitura gammaspectrométrica a cada 80 m.

O balanço de dados selenífero utilizado no Sistema de Geodados do Serviço Geológico do Brasil (GeoSG). As amostras de sedimentos de corrente foram obtidas com base em mapas de baixa resolução (1:250k), fazendo com que os dados de treino, validação, e teste sejam altamente contaminados com viés de interpretação.

O banco de dados selenífero utilizado na construção desse produto é o obtido através do Projeto Aerogeofísico Rondonia Central (2010), pelo Serviço Geológico do Brasil - CPRM. Esse projeto possui espacamento entre as linhas de voos de 500 m na direção noroeste e altura média de voo de 100 m. Linhas de controle espaciadas de 10 km na direção leste-oeste complementam os dados. Devido às características dos equipamentos utilizados na aquisição dos dados, tem-se em média, ao longo da linha de voo uma leitura magnetepectrométrica a cada 80 m e uma leitura gammaspectrométrica a cada 80 m.

A composição do Gradiente Total (GT) binária com a Inclinação do Sitema Analítico (ISA) - MARA PRINCIPAL - tem como objetivo auxiliar os peritos fornecedores de provas na identificação de possíveis anomalias de magnetização rasa. O resultado é dividido em duas classes: positivo e negativo.

Os dados de amostragem geopelotiva foram obtidos através de levantamentos aerogeofísicos com 500 m de espaçamento de linhas de controle e 100 m de espaçamento entre as linhas de amostragem. As amostras foram obtidas através de um sistema de amostragem de superfície.

As amostras foram submetidas à análise mineralógica ótica semiquantitativa e contagem de pirometria nos Laboratórios de Análises Minerais do Centro de Pesquisas e Desenvolvimento da Geologia e Mineração (CPG).

O conteúdo de urânio nas amostras submetidas à análise mineralógica ótica semiquantitativa é menor que 75% da população da amostra.

O conteúdo de urânio nas amostras submetidas à análise mineralógica ótica semiquantitativa é menor que 75% da população da amostra.

O mapa geológico preditivo (CRACKNELL & READING, 2014; COSTA et al., 2019) - ENCARTE GEOLÓGICO PREDITIVO - apresenta resultados para o auxílio da interpretação geológica. A resolução e qualidade dos resultados cartográficos é diretamente relacionada aos dados de entrada. Foram utilizados como dados de entrada levantamentos aerogeofísicos com 500 m de espaçamento de linhas de controle e 100 m de espaçamento entre as linhas de amostragem. As amostras foram obtidas através de um sistema de amostragem de superfície.

O método de extração automática de lineamentos é dividido em duas etapas: i) análise de textura para realçar as variações magnéticas locais; ii) detecção de simetria para identificar as descontinuidades magnéticas (HOLDEN et al., 2009). O método é eficiente para detectar zonas de cisalhamento, falhas rupéstres, e estruturas hidrogeológicas. As amostras foram obtidas através de um sistema de amostragem de superfície.

Os portões de amostragem geopelotiva mostram concentrações destaca para os elementos Au, Cu, Pb e Zn, onde foram considerados valores de concentração maiores que 75% da população de cada elemento.

O conteúdo de urânio nas amostras submetidas à análise mineralógica ótica semiquantitativa é menor que 75% da população da amostra.

O conteúdo de urânio nas amostras submetidas à análise mineralógica ótica semiquantitativa é menor que 75% da população da amostra.

O conteúdo de urânio nas amostras submetidas à análise mineralógica ótica semiquantitativa é menor que 75% da população da amostra.

O conteúdo de urânio nas amostras submetidas à análise mineralógica ótica semiquantitativa é menor que 75% da população da amostra.

O conteúdo de urânio nas amostras submetidas à análise mineralógica ótica semiquantitativa é menor que 75% da população da amostra.

O conteúdo de urânio nas amostras submetidas à análise mineralógica ótica semiquantitativa é menor que 75% da população da amostra.

O conteúdo de urânio nas amostras submetidas à análise mineralógica ótica semiquantitativa é menor que 75% da população da amostra.

O conteúdo de urânio nas amostras submetidas à análise mineralógica ótica semiquantitativa é menor que 75% da população da amostra.

O conteúdo de urânio nas amostras submetidas à análise mineralógica ótica semiquantitativa é menor que 75% da população da amostra.

O conteúdo de urânio nas amostras submetidas à análise mineralógica ótica semiquantitativa é menor que 75% da população da amostra.

O conteúdo de urânio nas amostras submetidas à análise mineralógica ótica semiquantitativa é menor que 75% da população da amostra.

O conteúdo de urânio nas amostras submetidas à análise mineralógica ótica semiquantitativa é menor que 75% da população da amostra.

O conteúdo de urânio nas amostras submetidas à análise mineralógica ótica semiquantitativa é menor que 75% da população da amostra.

O conteúdo de urânio nas amostras submetidas à análise mineralógica ótica semiquantitativa é menor que 75% da população da amostra.

O conteúdo de urânio nas amostras submetidas à análise mineralógica ótica semiquantitativa é menor que 75% da população da amostra.

O conteúdo de urânio nas amostras submetidas à análise mineralógica ótica semiquantitativa é menor que 75% da população da amostra.

O conteúdo de urânio nas amostras submetidas à análise mineralógica ótica semiquantitativa é menor que 75% da população da amostra.

O conteúdo de urânio nas amostras submetidas à análise mineralógica ótica semiquantitativa é menor que 75% da população da amostra.

O conteúdo de urânio nas amostras submetidas à análise mineralógica ótica semiquantitativa é menor que 75% da população da amostra.

O conteúdo de urânio nas amostras submetidas à análise mineralógica ótica semiquantitativa é menor que 75% da população da amostra.

O conteúdo de urânio nas amostras submetidas à análise mineralógica ótica semiquantitativa é menor que 75% da população da amostra.

O conteúdo de urânio nas amostras submetidas à análise mineralógica ótica semiquantitativa é menor que 75% da população da amostra.

O conteúdo de urânio nas amostras submetidas à análise mineralógica ótica semiquantitativa é menor que 75% da população da amostra.

O conteúdo de urânio nas amostras submetidas à análise mineralógica ótica semiquantitativa é menor que 75% da população da amostra.

O conteúdo de urânio nas amostras submetidas à análise mineralógica ótica semiquantitativa é menor que 75% da população da amostra.

O conteúdo de urânio nas amostras submetidas à análise mineralógica ótica semiquantitativa é menor que 75% da população da amostra.

O conteúdo de urânio nas amostras submetidas à análise mineralógica ótica semiquantitativa é menor que 75% da população da amostra.

O conteúdo de urânio nas amostras submetidas à análise mineralógica ótica semiquantitativa é menor que 75% da população da amostra.

O conteúdo de urânio nas amostras submetidas à análise mineralógica ótica semiquantitativa é menor que 75% da população da amostra.

O conteúdo de urânio nas amostras submetidas à análise mineralógica ótica semiquantitativa é menor que 75% da população da amostra.

O conteúdo de urânio nas amostras submetidas à análise mineralógica ótica semiquantitativa é menor que 75% da população da amostra.

O conteúdo de urânio nas amostras submetidas à análise mineralógica ótica semiquantitativa é menor que 75% da população da amostra.

O conteúdo de urânio nas amostras submetidas à análise mineralógica ótica semiquantitativa é menor que 75% da população da amostra.

O conteúdo de urânio nas amostras submetidas à análise mineralógica ótica semiquantitativa é menor que 75% da população da amostra.

O conteúdo de urânio nas amostras submetidas à análise mineralógica ótica semiquantitativa é menor que 75% da população da amostra.

O conteúdo de urânio nas amostras submetidas à análise mineralógica ótica semiquantitativa é menor que 75% da população da amostra.

O conteúdo de urânio nas amostras submetidas à análise mineralógica ótica semiquantitativa é menor que 75% da população da amostra.

O conteúdo de urânio nas amostras submetidas à análise mineralógica ótica semiquantitativa é menor que 75% da população da amostra.

O conteúdo de urânio nas amostras submetidas à análise mineralógica ótica semiquantitativa é menor que 75% da população da amostra.

O conteúdo de urânio nas amostras submetidas à análise mineralógica ótica semiquantitativa é menor que 75% da população da amostra.

O conteúdo de urânio nas amostras submetidas à análise mineralógica ótica semiquantitativa é menor que 75% da população da amostra.

O conteúdo de urânio nas amostras submetidas à análise mineralógica ótica semiquantitativa é menor que 75% da população da amostra.

O conteúdo de urânio nas amostras submetidas à análise mineralógica ótica semiquantitativa é menor que 75% da população da amostra.

O conteúdo de urânio nas amostras submetidas à análise mineralógica ótica semiquantitativa é menor que 75% da população da amostra.

O conteúdo de urânio nas amostras submetidas à análise mineralógica ótica semiquantitativa é menor que 75% da população da amostra.

O conteúdo de urânio nas amostras submetidas à análise mineralógica ótica semiquantitativa é menor que 75% da população da amostra.

O conteúdo de urânio nas amostras submetidas à análise mineralógica ótica semiquantitativa é menor que 75% da população da amostra.

O conteúdo de urânio nas amostras submetidas à análise mineralógica ótica semiquantitativa é menor que 75% da população da amostra.

O conteúdo de urânio nas amostras submetidas à análise mineralógica ótica semiquantitativa é menor que 75% da população da amostra.

O conteúdo de urânio nas amostras submetidas à análise mineralógica ótica semiquantitativa é menor que 75% da população da amostra.

O conteúdo de urânio nas amostras submetidas à análise mineralógica ótica semiquantitativa é menor que 75% da população da amostra.

O conteúdo de urânio nas amostras submetidas à análise mineralógica ótica semiquantitativa é menor que 75% da população da amostra.

O conteúdo de urânio nas amostras submetidas à análise mineralógica ótica semiquantitativa é menor que 75% da população da amostra.

O conteúdo de urânio nas amostras submetidas à análise mineralógica ótica semiquantitativa é menor que 75% da população da amostra.

O conteúdo de urânio nas amostras submetidas à análise mineralógica ótica semiquantitativa é menor que 75% da população da amostra.

O conteúdo de urânio nas amostras submetidas à análise mineralógica ótica semiquantitativa é menor que 75% da população da amostra.

O conteúdo de urânio nas amostras submetidas à análise mineralógica ótica semiquantitativa é menor que 75% da população da amostra.

O conteúdo de urânio nas amostras submetidas à análise mineralógica ótica semiquantitativa é menor que 75% da população da amostra.

O conteúdo de urânio nas amostras submetidas à análise mineralógica ótica semiquantitativa é menor que 75% da população da amostra.

O conteúdo de urânio nas amostras submetidas à análise mineralógica ótica semiquantitativa é menor que 75% da população da amostra.

O conteúdo de urânio nas amostras submetidas à análise mineralógica ótica semiquantitativa é menor que 75% da população da amostra.

O conteúdo de urânio nas amostras submetidas à análise mineralógica ótica semiquantitativa é menor que 75% da população da amostra.

O conteúdo de urânio nas amostras submetidas à análise mineralógica ótica semiquantitativa é menor que 75% da população da amostra.

O conteúdo de urânio nas amostras submetidas à análise mineralógica ótica semiquantitativa é menor que 75% da população da amostra.